

پایداری دینامیکی حلقه‌های اختر فیزیکی *

محمد هادی خشن^(۱) محمود روشن^(۲)

چکیده هدف از این مقاله بررسی سیستم‌های حلقه‌ای در چارچوب یک نظریه تعمیم یافته گرانشی می‌باشد. درحقیقت پایداری گرانشی سیستمی حلقه‌ای متشکل از N ذره با جرم‌های برابر m در حال گردش حول یک جسم مرکزی سنگین مطالعه می‌شود. برای این کار ابتدا دینامیک سیستم در حالت پایه توصیف و معادلات حرکت به دست می‌آید. سپس با استفاده از آنالیز اختلاسی، معادلات حرکت خطی شده به دست می‌آید. نهایتاً با استفاده از آنالیز فوریه و معادلات خطی شده، معادله پاشندگی سیستم محاسبه می‌شود. با استفاده از مقادیر تجربی پارامترهای آزاد نظریه فوق‌الذکر، معادله پاشندگی را برای حالت‌های مختلف بررسی و شرایط پایداری سیستم نسبت به اختلالات کوچک پیدا می‌شود، سپس نتایج به دست آمده را با سیستم متناظر در گرانش نیوتونی مقایسه می‌شود.

واژه‌های کلیدی ناپایداری گرانشی، نظریه تعمیم یافته گرانشی.

On the Dynamical Stability of Astrophysical Rings

M.H. Khashen

M. Roshan

Abstract The purpose of this paper is to consider the ring systems in the context of a modified gravity theory. In fact, the gravitational stability of a ring system consisted of N particle with the same mass m rotating around a massive object at the center is studied. After finding the equation of motion and considering the dynamics of the system in the equilibrium state, perturbative analysis is used in order to find the linearized version of the equations of motion. Finally using the Fourier analysis, the dispersion relation of the system is derived. At the end, using the observational values of the free parameters of the above mentioned theory and also the dispersion equation the stability criterion of the system for several cases is derived. Finally, the results have been compared with the corresponding results in Newtonian gravity.

Key Words Gravitational instability, Modified gravity.

* تاریخ دریافت مقاله ۹۵/۱۱/۱۹ و تاریخ پذیرش آن ۹۶/۲/۲۳ می‌باشد. DOI: 10.22067/fum-mech.v29i2.62423

(۱) کارشناسی ارشد فیزیک، دانشگاه فردوسی، مشهد.

(۲) نویسنده مسئول: استادیار، دانشکده علوم دانشگاه فردوسی، مشهد. mroshan@um.ac.ir

مقدمه

حلقه‌های کوچک و جدید را در میان حلقه B آشکار کردند، که به نام حلقه C شناخته می‌شود. این واقعیت به‌طور جدی نشان می‌داد که حلقه‌ها جامد نیستند [4]. ماهیت حلقه‌های زحل نهایتاً در سال ۱۸۵۷ آشکار شد. فیزیکدان اسکاتلندی جیمز کلارک ماکسول که بعدها نظریه الکترومغناطیس را ارائه کرد، با استفاده از فیزیک نیوتونی نشان داد که حلقه‌های جامد هرگز نمی‌توانند پایدار باقی بمانند؛ و بنابراین باید متشکل از ذرات ریز باشند [5]. درحقیقت وی از ساختار ترکیب حلقه‌های زحل چیزی نمی‌دانست، اما فرض کرد که ممکن است حلقه‌ها از مایع، جامد و حتی هزاران قطعه سنگ تشکیل شده باشند. او با استفاده از آنالیز پایداری دینامیکی در مکانیک نیوتنی نشان داد که حلقه‌ها با توزیع نسبتاً یکنواخت نمی‌توانند مایع یا جامد باشند؛ بنابراین، به دنبال سومین فرض خود برای حلقه‌های زحل رفت و با فرض این‌که جرم تمام قطعه‌سنگ‌ها یکسان است و به‌طور یکنواخت در مدارهای دایره‌ای در حال چرخش به‌دور زحل می‌باشند، نتیجه گرفت که اگر جرم قطعه‌سنگ‌ها در رابطه زیر صدق کند، حلقه‌ها پایدارند [5]:

$$m \leq \frac{2.298M}{n^2} \quad (1)$$

که در آن m جرم قطعه‌سنگ‌ها یا ذرات حلقه است و M جرم زحل یا جسم مرکزی است و n تعداد ذرات تشکیل‌دهنده سیستم است.

بعد از ماکسول پژوهش‌های متنوع دیگری نتایج او را تأیید کردند، برای نمونه چند مورد در ادامه آمده است. در سال ۱۸۸۹ تیسراند فرض کرد که حلقه‌ها هیچ تأثیری روی زحل ندارند. او با استفاده از این فرض، همان شرط ماکسول را به‌طور تحلیلی به‌دست آورد. در سال ۱۹۳۵ پندس [6] پایداری حلقه‌ها را دوباره بررسی کرد. او ثابت کرد که برای n های کوچک‌تر از ۶ (و بزرگ‌تر از ۲) حلقه‌ها حتماً ناپایدارند. در سال ۱۹۸۶ ویلر دینگ [7] از نظریه امواج

حلقه‌ها و قرص‌ها از اجزای اصلی برخی سیستم‌های اختریفیزیکی هستند، بنابراین پایداری و تحولات آنها در اختریفیزیک از اهمیت بالایی برخوردار است. گرانش می‌تواند در تعیین پایداری و تحول این سیستم‌ها نقشی کلیدی بازی کند. برای مثال ثابت شده است که در حلقه‌های زحل و اورانوس خودگرانش، نسبت به عوامل مؤثر دیگر قوی‌تر است [1]؛ به‌گونه‌ای که منجر به ناپایداری‌های نامتقارن می‌شود و شرایط انتقال اندازه حرکت و جرم در حلقه‌ها را فراهم می‌کند. حضور چنین ناپایداری‌های دینامیکی یک عامل مهم در تعیین ساختار حلقه است [2, 3]. به‌عنوان مثال نگاهی بر تاریخچه حلقه‌های سیاره زحل می‌تواند اهمیت ناپایداری‌های دینامیکی را نشان دهد. ده‌ها سال پس از این‌که حلقه‌های زحل به‌وسیله گالیله رصد شد، ماهیت حلقه‌ها یکی از موضوعات مورد بحث در محافل نجومی بود. برخی اظهار می‌کردند که آنها صفحاتی جامد از مواد هستند، درحالی‌که دیگران گمان می‌بردند حلقه‌ها متشکل از میلیون‌ها ذره کوچک هستند که هر یک شبیه به قمری فرضی اطراف زحل در حال حرکتند. رقبای نظریه صفحات جامد چنین استدلال می‌کردند که فعالیت نیروهای کشندی بر روی یک حلقه جامد بسیار قوی است و می‌تواند طی مدتی کوتاه حلقه را از هم جدا کند، مگر این‌که به احتمال بعید حلقه از مقداری مواد بسیار چسبنده که در زمین ناشناخته هستند، تشکیل شده باشد. طرفداران نظریه حلقه جامد پیشنهاد کردند که در واقع حلقه از نوارهای بسیار باریک ساخته شده است، در این صورت نیروهای کشندی فشار کافی برای جداسازی حلقه را نخواهند داشت. در سال ۱۶۷۵ رسدها، خطی بسیار نازک و تاریک را در میان حلقه‌ها آشکار کردند، که حلقه‌ها را به دو بخش حلقه بیرونی به نام A و حلقه درونی به نام B، تقسیم می‌کرد. در اواسط سال ۱۸۵۰ اخترشناسان

چگالی استفاده کرد و نشان داد که نتیجه‌ای که ماکسول به‌دست آورده است در n های بزرگ صحیح است. در سال ۱۹۸۸ سالو و یودر [8] فرض کردند که اجسام به‌طور یکنواخت حول جسم مرکزی توزیع نشده‌اند. آنها نشان دادند که برخی ساختارهای نامتقارن پایدار نیز می‌توانند وجود داشته باشند. در سال ۱۹۹۱ وین و چیرس [9] تحلیل پندس را تعمیم دادند، و نشان دادند که وقتی n کوچک است نیز آستانه پایداری تابعی از n است. در سال ۱۹۹۴ مووکل [10] پایداری خطی سیستم n جسمی را وقتی به‌طور یکنواخت حول جسم مرکزی می‌چرخند بررسی کرد. او نشان داد که وقتی تعداد ذرات بزرگ‌تر از ۷ باشد حلقه‌های متقارن پایدار هستند. در سال ۲۰۰۰ رابرت [11] کار مووکل را تعمیم داد و معیاری برای پایداری حلقه‌ها تعیین کرد که با معیار وین و چیرس [9] مطابقت داشت.

هدف این مقاله بررسی پایداری حلقه‌های مشابه در نظریه تعمیم‌یافته MOG است که از مجموعه‌ای از ذرات تشکیل شده‌اند. این نظریه برای حل معمای ماده تاریک ارائه شده است [12]. این مشکل یکی از اساسی‌ترین چالش‌های فیزیک نظری است. به بیان دقیق‌تر رصدهای اخت‌فیزیکی نشان می‌دهند که شواهد مستقیمی برای اختلاف بین گرانش نیوتونی و مشاهدات وجود دارد؛ به‌عنوان مثال منحنی چرخش کهکشان‌های مارپیچی در فاصله‌های دور نسبت به مرکز کهکشان تخت هستند. درحالی‌که طبق گرانش نیوتنی، این منحنی‌ها به‌جای این که توابع تخت باشند، کاهشی هستند.

علاوه‌بر این یک مشکل جدی در جرم خوشه‌های گروهی کهکشان‌ها نیز وجود دارد. درحقیقت این خوشه‌ها تقریباً شش مرتبه پرجرم‌تر از آنچه هستند که با تلسکوپ به‌صورت مرئی رصد می‌شوند. در نتیجه فیزیک‌دانان معتقدند ماده تاریک و گمشده‌ای در دنیا وجود دارد که تاکنون آشکارسازی نشده است. با این وجود، اگرچه بسیاری با روش‌های مختلف در آزمایشگاه‌های مدرن به‌دنبال این ذرات می‌گردند، اما

هنوز نشانی از آنها رصد نشده است. یک رهیافت دیگر برای حل این معما، تعمیم دادن نظریه گرانش استاندارد است. به بیان دیگر شاید قانون گرانش استاندارد بایستی اصلاح شود و درحقیقت هیچ ماده تاریکی در دنیا وجود ندارد. نظریه MOG این رهیافت را دنبال می‌کند. به‌لحاظ ریاضی این نظریه به‌مراتب پیچیده‌تر از نظریه نسبیت عام انیشتین است. درحقیقت MOG میدان‌های کلاسیک دیگری نیز دارد که درجات آزادی نظریه را افزایش می‌دهند. به بیان دقیق‌تر MOG یک نظریه تانسور-اسکالر-برداری است و دارای دو میدان اسکالر و یک میدان برداری پروکا است. این میدان‌ها از MOG یک نظریه مؤثر برای حل مشکل ماده تاریک ساخته‌اند.

سیستم حلقه‌ای ذره‌ای در نظریه MOG

ابتدا لازم است تا حالت زمینه یعنی سیستم بدون اختلال پیدا شود. برای این کار لازم است تا پتانسیل گرانشی تعمیم‌یافته در نظریه MOG معرفی شود. می‌توان نشان داد که پتانسیل گرانشی ناشی از جرم نقطه‌ای M در این مدل عبارت است از:

$$\phi_{eff} = -\frac{GM}{r}(1 + \alpha - \alpha e^{-\mu_0 r}) \quad (2)$$

که در آن G ثابت جهانی گرانش نیوتن است. از طرف دیگر α و μ_0 پارامترهای آزاد نظریه هستند که توسط رصدهای مربوط به منحنی چرخش کهکشان‌های مارپیچی مقدار آنها به‌دست آمده است. این مقادیر به‌ترتیب عبارتند از [13]:

$$\alpha = 8.89 \pm 0.34$$

$$\mu = 0.042 \pm 0.004 \text{ kpc}^{-1}$$

با داشتن این پتانسیل، فرض می‌کنیم n ذره با جرم‌های برابر m حول جسم مرکزی سنگین با جرم M در حال چرخش هستند و حلقه‌ای به‌شعاع r تشکیل می‌دهند. مکان هر ذره در مختصات مختلط را

$$\left\{ \begin{array}{l} \ddot{r}_j - r_j(\dot{\varphi}_j + \omega)^2 = \frac{\partial U_j}{\partial r_j} \\ r_j \ddot{\varphi}_j + 2\dot{r}_j(\dot{\varphi}_j + \omega) = \frac{1}{r_j} \frac{\partial U_j}{\partial \varphi_j} \quad j = 1, 2, \dots, n \quad (6) \\ \ddot{z}_j = \frac{\partial U_j}{\partial z_j} \end{array} \right.$$

به صورت زیر نشان می دهیم:

$$x_j = r e^{i(\omega t + \frac{2j\pi}{n})} \quad (3)$$

در این صورت می توان نشان داد که سرعت زاویه ای ذرات با رابطه زیر داده می شود:

$$\omega^2 = \frac{GM}{r^3} + \frac{Gm}{r^3} I_n + \frac{GM}{r^3} \alpha \left[1 - (1 + \mu_0 r) e^{-\mu_0 r} + \frac{\mu}{4} \sum_{k=1}^{n-1} \frac{1 - e^{-2r \sin \frac{k\pi}{n}} - 2\mu_0 r e^{-2r \sin \frac{k\pi}{n}}}{\sin \frac{k\pi}{n}} \right] \quad (4)$$

که در آن،

$$I_n = \sum_{k=1}^{n-1} \frac{1}{4 \sin(k\pi/n)} \quad (5)$$

در حقیقت U_j به گونه ای تعریف شده است که گرادیان آن نیروی وارد بر ذره j ام را به دست می دهد. از آنجایی که پایداری سیستم مطالعه می شود، اختلالاتی به شکل زیر را به مختصات ذرات اعمال می شود:

$$r_j = 1 + \rho_j \quad (7)$$

$$\varphi_j = 2\theta_j + \sigma_j \quad (8)$$

$$z_j = 0 + \zeta z_j \quad (9)$$

در روابط بالا ρ_j اختلال در شعاع ذرات، σ_j اختلال در زاویه ذرات و ζz_j اختلال در ارتفاع ذرات می باشد و از آنجاکه اختلالات بسیار کوچک هستند در روابط زیر صدق می کنند:

$$\left\{ \begin{array}{l} \frac{\rho_j}{r_j} \ll 1 \\ \frac{\sigma_j}{\varphi_j} \ll 1 \\ \frac{\zeta z_j}{z_j} \ll 1 \end{array} \right. \quad (10)$$

با جای گذاری اختلالات در معادلات حرکت (۶) و نگه داشتن ضرایب تا مرتبه اول اختلال، به معادلات مختل شده خطی زیر می رسمیم:

$$\ddot{\rho} - 2\omega \dot{\sigma} = \omega^2 \rho + A\rho + B\sigma \quad (11)$$

$$\ddot{\sigma} + 2\omega \dot{\rho} = C\rho + D\sigma \quad (12)$$

$$\ddot{\zeta z} = E\zeta z \quad (13)$$

که در آنها A, B, C, D و E ماتریس های ضرایب هستند. همان طور که قبلاً نیز اشاره کردیم، پارامتر μ_0 بسیار کوچک است، بنابراین در ادامه فرض می کنیم که $\mu_0 r \ll 1$ (r شعاع حلقه است). در این صورت جملات

می توان به راحتی نشان داد که این سرعت از سرعت متناظر در مکانیک نیوتونی اندکی بیشتر است. به عبارت دیگر سرعت چرخش ذره ای با جرم m حول جسم مرکزی با جرم M روی دایره ای به شعاع r ، به نظریه گرانشی وابسته است. در نظریه های گرانشی که برای حل معمای ماده تاریک ساخته شده اند، گرانش نسبت به گرانش نیوتونی قوی تر است. بنابراین سرعت چرخش ذرات بزرگ تر از مکانیک نیوتونی است. لازم به ذکر است که قوی تر بودن نیروی گرانشی نسبت به مکانیک نیوتونی، برای توجیه منحنی چرخش تخت کهکشان های مارپیچی لازم است؛ حتی برای توصیف سرعت های تصادفی بزرگ کهکشان ها در خوشه های کهکشانی نیز امری مهم است. در حقیقت امروزه می دانیم که در چارچوب مکانیک نیوتونی، سرعت بزرگ کهکشان ها در خوشه های کهکشانی قابل توجیه نیست. این همان مشکل حل نشده ماده تاریک در اخترفیزیک است.

از طرف دیگر معادلات حرکت در دستگاه استوانه ای (r, φ, Z) عبارتند از:

$$\begin{aligned}
 D_{jk} &= -\mu \cos(2(\theta k - \theta j)) \left[1 + \frac{\alpha \mu_0^2}{2} \right. \\
 &\quad \left. + \frac{\alpha \mu_0^2}{8 \sin(\theta k - \theta j)} \right. \\
 &\quad \left. + \frac{1}{16} \csc^3(\theta k - \theta j) \right] \\
 &\quad + \frac{3\mu}{16} \csc^3(\theta k - \theta j) \\
 &\quad + \frac{\alpha \mu_0^2 \mu}{8 \sin(\theta k - \theta j)} \\
 E_{jj} &= -(1 + \mu) \left(1 - \frac{\alpha \mu_0^2}{2} \right) \\
 &\quad - \frac{\mu}{8} \sum_{k \neq j}^{n-1} \csc^3(\theta k - \theta j) \\
 &\quad + 2 \frac{\alpha \mu_0^2}{\sin(\theta k - \theta j)} \\
 E_{jk} &= -\mu \left(1 + \frac{\alpha \mu_0^2}{2} \right) + \frac{\mu}{8} [\csc^3(\theta k - \theta j) \\
 &\quad + 2 \frac{\alpha \mu_0^2}{\sin(\theta k - \theta j)}] \quad (14)
 \end{aligned}$$

لازم به ذکر است که فرض کرده‌ایم $GM=1$ و $\mu = m/M$ برای ساده‌کردن شکل ضرایب از تغییر متغیرهای دیگری به شکل زیر استفاده می‌کنیم:

$$\begin{aligned}
 \rho &= \mathcal{F} \xi \\
 \sigma &= \mathcal{F} \eta \quad (15) \\
 zz &= \mathcal{F} \zeta
 \end{aligned}$$

که در آن \mathcal{F} به شکل زیر تعریف می‌شود:

$$\mathcal{F}_{lk} = e^{2i\theta lk} \quad (16)$$

در این صورت روابط (۱۱-۱۳) را به شکل زیر بازنویسی می‌کنیم:

$$\ddot{\xi} - 2\omega \dot{\eta} = \omega^2 \xi + \Lambda^A \xi + \Lambda^B \eta \quad (17)$$

شامل $\mu_0 \Gamma$ را فقط تا مرتبه دوم $\mu_0 \Gamma$ نگه می‌داریم؛ بنابراین داریم:

$$\begin{aligned}
 A_{jj} &= 2 + 2\mu - \frac{\mu}{8} \sum_{k \neq j}^{n-1} \csc^3(\theta k - \theta j) \\
 &\quad - 3 \csc(\theta k - \theta j) \\
 &\quad - \alpha \mu_0^2 \csc(\theta k - \theta j) [1 \\
 &\quad + \cos(2(\theta k - \theta j))]
 \end{aligned}$$

$$\begin{aligned}
 A_{jk} &= \frac{\mu}{8} [\csc^3(\theta k - \theta j) + \csc(\theta k - \theta j) \\
 &\quad + \alpha \mu_0^2 \csc(\theta k - \theta j) [1 \\
 &\quad + \cos(2(\theta k - \theta j))] \\
 &\quad + 2\mu \cos(2(\theta k - \theta j))]
 \end{aligned}$$

$$\begin{aligned}
 B_{jj} &= -\mu \sum_{k \neq j}^{n-1} \sin(2(\theta k - \theta j)) [1 + \frac{\alpha \mu_0^2}{2} \\
 &\quad - \frac{\alpha \mu_0^2}{8 \sin(\theta k - \theta j)} \\
 &\quad + \frac{1}{16} \csc^3(\theta k - \theta j)]
 \end{aligned}$$

$$\begin{aligned}
 B_{jk} &= \mu \sin(2(\theta k - \theta j)) [1 + \frac{\alpha \mu_0^2}{2} \\
 &\quad - \frac{\alpha \mu_0^2}{8 \sin(\theta k - \theta j)} \\
 &\quad + \frac{1}{16} \csc^3(\theta k - \theta j)]
 \end{aligned}$$

$$C_{jj} = B_{jj}$$

$$\begin{aligned}
 C_{jk} &= -\mu \sin(2(\theta k - \theta j)) [\frac{1}{16} \csc^3(\theta k - \theta j) \\
 &\quad - \frac{\alpha \mu_0^2}{8 \sin(\theta k - \theta j)} - 2]
 \end{aligned}$$

$$\begin{aligned}
 D_{jj} &= \mu \sum_{k \neq j}^{n-1} \cos(2(\theta k - \theta j)) \left[1 + \frac{\alpha \mu_0^2}{2} \right. \\
 &\quad \left. + \frac{\alpha \mu_0^2}{8 \sin(\theta k - \theta j)} \right. \\
 &\quad \left. + \frac{1}{16} \csc^3(\theta k - \theta j) \right] \\
 &\quad + \frac{3}{16} \csc^3(\theta k - \theta j) \\
 &\quad + \frac{\alpha \mu_0^2}{8 \sin(\theta k - \theta j)}
 \end{aligned}$$

$$S_j = \begin{cases} 0 & \text{در غیر این صورت} \\ n & j = 1, n-1 \end{cases}$$

$$S_j^E = \begin{cases} 2n-2 & j = n \\ -2 & \text{در غیر این صورت} \end{cases} \quad (21)$$

پایداری خطی خارج از صفحه

حال که معادلات مرتبه اول اختلال را در دست داریم، می‌توانیم تحول ناپایداری‌ها را بررسی کنیم. در ساده‌ترین حالت، اختلالات فقط در راستای عمود بر قرص هستند؛ لذا برای پیدا کردن شرط پایداری خارج از صفحه، فقط اختلال در راستای عمود بر صفحه را در نظر می‌گیریم. در این صورت تنها معادله لازم برای بررسی پایداری رابطه (۱۹) می‌باشد:

$$\ddot{\xi} = \Lambda^E \xi \quad (22)$$

باتوجه به معادله واضح است که برای پایداری لازم است Λ^E منفی باشد. اجازه دهید ابتدا فرض کنیم j مخالف n باشد، در این صورت شرط پایداری عبارت است از:

$$1 + \frac{\alpha\mu_0^2}{2} + \frac{\mu}{12}(L_j + N_j) + \frac{\alpha\mu\mu_0^2}{2}d_j > 0 \quad (23)$$

از طرف دیگر برای $j = n$ شرط پایداری به شکل زیر است:

$$(1 + (2+n)\mu)(1 + \frac{\alpha\mu_0^2}{2}) > 0 \quad (24)$$

با ساده‌سازی رابطه (۲۴) داریم:

$$\alpha\mu_0^2 > -2 \quad (25)$$

به راحتی می‌توان نشان داد که اگر شرط (۲۵) برقرار باشد، آن‌گاه (۲۳) نیز برقرار است. از طرفی باتوجه به این که مقادیر μ_0 و α مثبت هستند؛ می‌توان

$$\ddot{\eta} + 2\omega\xi = \Lambda^C \xi + \Lambda^D \eta \quad (18)$$

$$\dot{\xi} = \Lambda^E \xi \quad (19)$$

که در آن Λ^x ماتریسی قطری از ویژه مقادیر ماتریس x است. این ماتریس‌ها در زیر آمده‌اند:

$$\Lambda^A_j = 2 + \frac{\mu}{2}(c_j + d_j) + \mu\left(2J_j - \frac{1}{4}L_j\right) + \frac{\alpha\mu\mu_0^2}{2}a_j$$

$$\Lambda^B_j = \sqrt{-1}\mu\left(J_j + \frac{1}{8}M_j + \frac{\alpha\mu_0^2}{2}s_j - \frac{\alpha\mu_0^2}{4}b_j\right)$$

$$\Lambda^C_j = \sqrt{-1}\mu\left(2J_j - \frac{1}{8}M_j + \frac{\alpha\mu_0^2}{4}b_j\right)$$

$$\Lambda^D_j = \mu\left(-J_j\left(1 + \frac{\alpha\mu_0^2}{2}\right) + \frac{1}{4}N_j + \frac{\alpha\mu_0^2}{2}a_j\right)$$

$$\Lambda^E_j = -(1+\mu)\left(1 + \frac{\alpha\mu_0^2}{2}\right) - \frac{\mu}{12}(L_j + N_j) - \frac{\alpha\mu\mu_0^2}{2}d_j - \frac{\mu}{2}\left(1 + \frac{\alpha\mu_0^2}{2}\right)S_j^E \quad (20)$$

همچنین لازم به ذکر است که:

$$a_j = \sum_{k=1} \frac{\cos^2(k\theta)}{\sin(k\theta)} \sin^2(k\theta j)$$

$$b_j = \sum_{k=1} \cos(k\theta) \sin(2k\theta j)$$

$$c_j = \sum_{k=1} \frac{\cos^2(k\theta j)}{\sin(k\theta)}$$

$$d_j = \sum_{k=1} \frac{\sin^2(k\theta j)}{\sin(k\theta)}$$

$$L_j = \sum_k \frac{1 + \sin k\theta^2}{\sin k\theta^3} \sin^2 k j \theta$$

$$N_j = \sum_k \frac{1 + \cos k\theta^2}{\sin k\theta^3} \sin^2 k j \theta$$

$$M_j = \sum_k \frac{\cos k\theta}{\sin^2 k\theta} \sin 2k j \theta$$

$$J_j = \begin{cases} 0 & j \neq 1 \\ n/2 & j = 1 \end{cases}$$

برای پایداری باید شرایطی را بررسی کنیم که λ یا x حقیقی باشند، در این صورت می‌توان نشان داد که سه شرط زیر می‌بایستی هم‌زمان برقرار باشند:

$$q > 0 \quad (32)$$

$$\Delta > 0 \quad (33)$$

$$\Gamma > 0 \quad (34)$$

که در آنها:

$$\Delta = 4q^3r^2 - 27r^4 + 16q^4s - 144qr^2s - 128q^2s^2 + 256s^3 \quad (35)$$

$$\Gamma = 2q(q^2 - 4s) - 9r^2 \quad (36)$$

اما چون این شرایط به‌روش تحلیلی قابل بررسی نیستند، نمودار آنها را به‌صورت عددی رسم می‌کنیم و شرایط پایداری را بررسی می‌کنیم. اجازه دهید با $n=7$ که مرز پایداری در مکانیک نیوتنی است، شروع کنیم. همان‌طور که قبلاً نیز اشاره کردیم، میانگین α به‌طور تجربی $8/89$ است. با قرار دادن این عدد نمودار موردنظر را رسم می‌کنیم.

در شکل (۱) که برای $n=7$ رسم شده است، ناحیه‌ای که سیستم نسبت به اختلالات کوچک پایدار باقی می‌ماند مشخص شده است. اگر μ_0 صفر باشد، شرط پایداری به‌صورت زیر بازنویسی می‌شود:

$$\mu \leq 0.00715 \quad (37)$$

که همان شرطی است که در مکانیک نیوتونی به‌دست آوردیم. بار دیگر تأکید می‌کنیم که μ نسبت جرم یک ذره در حلقه به جرم مرکزی است. جالب است که این پارامتر به‌تنهایی می‌تواند شرط پایداری مسئله را به‌دست دهد.

نتیجه گرفت که همانند مکانیک نیوتونی، سیستم حلقه‌ای متشکل از ذرات، نسبت به اختلالات خارج از صفحه حلقه پایدار است. این حقیقت با ماهیت جاذبه نیروی گرانش کاملاً سازگار است. بنابراین می‌توان نتیجه گرفت تفاوت مهمی بین MOG و گرانش نیوتونی در اختلالات خارج از صفحه وجود ندارد. البته می‌توان فرکانس نوسانات پایدار را محاسبه کرد. به‌نظر می‌رسد این فرکانس در دو نظریه فوق متفاوت باشد. به بیان دقیق‌تر انتظار می‌رود نوسانات پایدار در راستای z در نظریه MOG بزرگ‌تر از مکانیک نیوتونی باشد. این انتظار صرفاً به‌خاطر قوی بودن نیروی گرانشی در این نظریه است.

پایداری در صفحه

برای پیدا کردن شرایط پایداری در صفحه باید دو معادله (۱۷ و ۱۸) را نیز در نظر بگیریم. برای این‌کار فرض می‌کنیم تحول زمانی اختلالات به‌شکل زیر باشد:

$$\xi, \eta, \zeta \sim e^{i\lambda t} \quad (26)$$

با جای‌گذاری (۲۶) در روابط (۱۷ و ۱۸) و ترکیب دو معادله به رابطه زیر می‌رسیم:

$$x^4 - qx^2 + rx + s = 0 \quad (27)$$

که در آن q, r, s توابعی از μ, j, μ_0 و α به‌صورت زیر هستند:

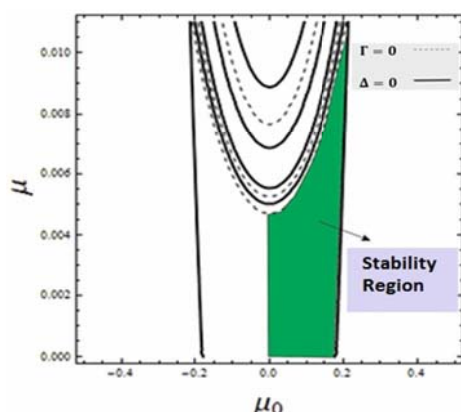
$$q = 3 - \frac{\Lambda^A + \Lambda^D}{\omega^2} \quad (28)$$

$$r = \frac{2(\Lambda^C - \Lambda^B)}{\omega^2} \quad (29)$$

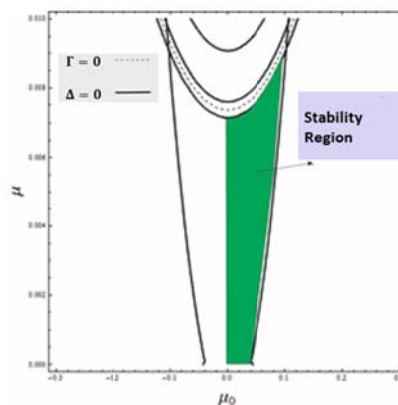
$$s = \frac{\Lambda^A \Lambda^D + \omega^2 \Lambda^D + \Lambda^B \Lambda^C}{\omega^4} \quad (30)$$

و x تابعی از λ است:

$$x = \frac{\lambda}{\omega} \quad (31)$$



شکل ۲ ناحیه پایداری سیستم هشت ذره‌ای



شکل ۱ ناحیه پایداری سیستم ۷ ذره‌ای

در شکل (۲) سیستم هشت ذره‌ای را بررسی کرده‌ایم. در این شکل منطقه‌ای که در آن سیستم می‌تواند نسبت به اختلالات کوچک پایدار باقی بماند مشخص شده است. از آنجایی که μ_0 نمی‌تواند منفی باشد؛ قسمت‌هایی را که دارای μ_0 منفی است از جواب حذف کرده‌ایم. همان‌طور که انتظار داریم در $\mu_0 = 0$ به همان جوابی می‌رسیم که در سیستم نیوتونی رسیدیم.

لازم به یادآوری است که سیستم با گرانش تعمیم‌یافته در حد $\mu_0 = 0$ به سیستمی با پتانسیل گرانشی نیوتونی تبدیل خواهد شد. همان‌طور که در شکل مشخص است با افزایش μ_0 ذراتی که می‌توانند نسبت به اختلالات کوچک پایدار باقی بمانند، جرم بیشتری خواهند داشت؛ اما جرم ذراتی که در سیستم هشت ذره‌ای پایدار باقی می‌مانند از جرم ذرات متناظر در سیستم هفت ذره‌ای کوچک‌تر است.

نتایج و پیشنهادات

از آنجاکه مهم‌ترین نتایج به دست آمده در بخش قبل نمودارهای انتهای بخش است، با تحلیل نمودارها شروع می‌کنیم. برای رسم نمودارها ابتدا فرض کرده‌ایم که α ثابت باشد. همان‌طور که از قبل انتظار داشتیم در حد $\mu_0 = 0$ همان نتایجی به دست آمد که در گرانش

از آنجاکه اگر $\mu_0 = 0$ باشد، پتانسیل به پتانسیل نیوتونی تبدیل می‌شود، انتظار چنین شرطی را داشتیم؛ اما با زیاد شدن μ_0 این شرط تغییر می‌کند. باتوجه به این که با زیاد شدن μ_0 نیروی جاذبه بین ذرات بیشتر می‌شود، ذرات با جرم‌های بیشتر می‌توانند نسبت به اختلالات کوچک پایدار باقی بمانند. وجود μ_0 در پتانسیل جاذبه بین ذرات را بیشتر می‌کند، به همین دلیل با افزایش آن ناحیه پایداری بزرگ‌تر می‌شود، اما اگر از مقدار خاصی بزرگ‌تر باشد نیروی جاذبه بین ذرات بسیار زیاد می‌شود و در صورت وجود اختلال سیستم از هم می‌پاشد؛ اما از آنجاکه ما شعاع را یک فرض کرده‌ایم تعیین این معیار کار راحتی نیست. باتوجه به رابطه (۲) اگر μ_0 منفی باشد نیرو در فواصل دور بی‌نهایت می‌شود. به عبارت دیگر در جواب‌های فیزیکی μ_0 نمی‌تواند منفی باشد، از این رو قسمت‌های منفی را از مناطق پایداری حذف کردیم. لازم است خاطر نشان کنیم که μ_0 نقش جرم میدان برداری موجود در نظریه MOG را بازی می‌کند و انتظار داریم که جرم وابسته به میدان‌ها مثبت باشد. باتوجه به رفتار کیهان‌شناختی این مدل می‌دانیم که در واقع این کمیت می‌تواند با زمان تغییر کند و لزوماً ثابت نیست.

ذرات کوچک‌تر از ν در هر صورتی ناپایدارند. این اتفاق در نظریه MOG نیز می‌افتد. اگر تعداد ذرات بیشتر شود سیستم با ذرات کم‌جرم‌تر می‌تواند پایدار بماند، البته در صورتی که μ_0 در دو سیستم برابر باشد. در پایان خاطر نشان می‌کنیم که بررسی پایداری موضعی یک حلقه سیالی نیز در ادامه این پژوهش قابل انجام است و برای توصیف ستاره‌زایی در حلقه‌های کهکشانی می‌تواند کمک کند.

تقدیر و تشکر

این پژوهش با حمایت دانشگاه فردوسی با شماره اعتبار (32039/19/09/1393) انجام شده است.

نیوتونی به دست آمده است. می‌دانیم که μ_0 نمی‌تواند منفی باشد؛ اما با زیاد شدن μ_0 شرایط تغییر می‌کند و سیستم حلقه‌ای می‌تواند با جرم‌های بزرگ‌تر نسبت به اختلالات کوچک پایدار بماند. از آنجاکه نیروی گرانشی در نظریه MOG مقداری بزرگ‌تر از نیروی گرانشی نیوتونی است این نتیجه دور از انتظار نبود. اما این روند تا μ_0 خاصی ادامه می‌یابد و پس از آن سیستم حلقه‌ای در هر صورتی ناپایدار می‌شود.

در ابتدا فرض کردیم که شعاع سیستم حلقه‌ای یک باشد، از آنجاکه متغیر اصلی در معادلات حرکت $\mu_0 r$ بود می‌توان نتیجه گرفت که سیستم‌های با شعاع بزرگ‌تر نسبت به سیستم‌های با شعاع کوچک‌تر ناپایدارترند. در گرانش نیوتونی سیستم حلقه‌ای با

مراجع

1. Goldreich, P. and Tremaine, S., "The dynamics of planetary rings", *Annual Review of Astronomy and Astrophysics*, Vol. 20, pp. 249-283, (1982).
2. Christodoulou, D.M. and Narayan, R., "The stability of accretion tori. IV-Fission and fragmentation of slender, self-gravitating annuli", *The Astrophysical Journal*, Vol. 388, pp. 451-466, (1992).
3. Shu, F., "Waves in planetary rings", in IAU Colloq. 75, Planetary Rings, (1984).
4. Bond, G., "Discovery of inner dark ring of Saturn", *Monthly Notices of the Royal Astronomical Society*, Vol. 11, pp. 20, (1850).
5. Maxwell, J.C., "On the stability of the motion of Saturn's rings", Cambridge, (1859).
6. Pendse, C., "The theory of Saturn's rings", *Philosophical Transactions of the Royal Society of London. Series A, Mathematical and Physical Sciences*, Vol. 234(735), pp. 145-176, (1935).
7. Willerding, E., "Theory of density waves in narrow planetary rings", *Astronomy and Astrophysics*, Vol. 161, pp. 403-407, (1986).
8. Salo, H. and Yoder, C., "Dynamics of coorbital satellite rings, in *The Few Body Problem*", Springer, pp. 179-184, (1988).
9. Scheeres, D. and Vinh, N., "Linear stability of a self-gravitating ring", *Celestial Mechanics and Dynamical Astronomy*, Vol. 51(1), pp. 83-103, (1991).
10. Moeckel, R., "Linear stability of relative equilibria with a dominant mass", *Journal of Dynamics and Differential Equations*, Vol. 6(1), pp. 37-51, (1994).
11. Roberts, G.E., "Linear stability in the $1+n$ -gon relative equilibrium", in *Proceedings of the III International Symposium "Hamiltonian Systems and Celestial Mechanics"*, eds. J. Delgado, E. Lacomba, & E. Pérez-Chavela (World Scientific, Singapore), (2000).
12. Vanderbei, R.J. and Kolemen, E., "Linear stability of ring systems", *The astronomical Journal*, Vol. 133(2), pp. 656, (2007).

13. Moffat, J. and Rahvar, S., "The MOG weak field approximation and observational test of galaxy rotation curves", *Monthly Notices of the Royal Astronomical Society*, Vol. 436(2), pp. 1439-1451, (2013).